

岩石内のアコースティックエミッションの特性とその観測

京都大学大学院 ○柳原 優、佐野 修
京都大学工学部 正会員 寺田 孝

1. 緒言

Acoustic Emission(以下AEという)は近年金属材料の分野で非破壊検査の一手法として注目され^ているが¹⁾、鉱山学、岩石学の分野ではRock Noiseとして從来から知られていて²⁾。レバレ、Rock Noiseとして検出されていて、波動の周波数が高々可聴周波数帯域にとどまっていたが、Schultzは100 KHz～1 MHzまでのAE波を検出し、従来の数百倍のAEのカウント数を検出しうるようになれた³⁾。筆者らは、岩石のようないわば脆性材料内でのAE波の波形観測から研究を始め、波形的特徴を考慮してAEの発生数をカウントし、これらの結果について考察した。今回岩石力学の分野で近年話題となる、引張り試験機と用いて岩質試料の応力ひずみ関係を調べ、その間に発生するAEを観測し、試料が破損していく状況とAEとの関連性を見出す実験的研究を行なつたので、その結果について報告する。

2. AEの測定原理

岩石のようないわば脆性材料内にMicro-fractureが生じた時には、その周辺にたくわえられていたひずみエネルギーは表面エネルギーと運動エネルギーへ変って解放されAEが発生する。脆性材料内に存在する既存の小さなクラックや空隙構成粒子の大きさに匹敵するものと考えられているが、実際のMicro-fractureが生じる時には、その大きさ構成粒子の大きさに等しいかあるいはそれより大きいとされる。既存のクラックの閉塞やMicro-fractureを検出するためには、(クラックの長さ)÷(クラックの進展速度)=(Micro-fractureの継続時間)の関係から、約1μsecの分解能を持つ測定システムが必要とする。実際にAE波の伝播とともに高周波数の急激な減衰がござつて、測定系統の周波数特性は10KHz～2MHz位が適当と考えられる。Fig. 1に

筆者らがAEの観測に用いた測定装置のブロック図を示す。Fig. 2は岩石を加熱し、熱応力によつて発生したAEを本装置によつて観測した一例を示したものである。参考のために従来から用いられてゐる破壊音測定装置(周波数特性600～16,000Hz)によつても同時観測を行なつてある。すな

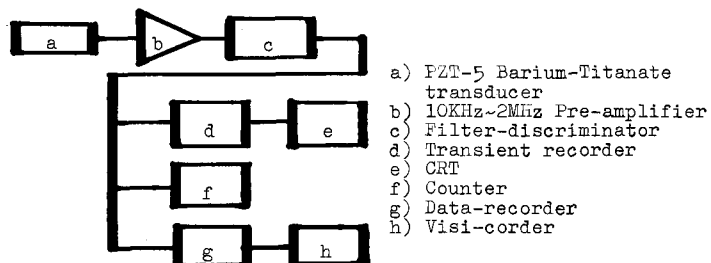
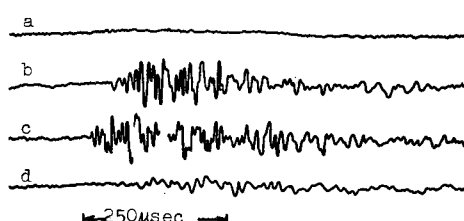


Fig. 1 Block diagram of AE detection and Monitoring system

むち、岩石の熱応力による破壊も構成粒子の大きさに匹敵するものと考えられるので、この程度の規模のMicro-fractureは従来の可聴域の検出装置では検



- a) 1 gal. full 541-A-07382
600Hz～15000Hz
b), c) PZT-5 transducer (20φ)
40 dB Pre-amplifier
d) PZT-5 transducer (4φ)
40 dB Pre-amplifier

Fig. 2 Wave form of AE in Kitagi Granite by thermal stress

出でるはいことがわかる。

3. 実験方法

測定に用いた Frequency-discriminator は、1つの Micro-fracture によって発生した AE 波の信号を Band-pass filter を通った後、ある一定基準レベル(可変)以上のものであれば必ず一個のパルスとして出さないようにするために不感時間ともつパルス発生機構と、ある一定基準レベル以上の信号を全てパルスに変換して発生する機構とをもつてゐる。つまり、センサーに感知される AE 波の継続時間を推定することができれば、Micro-fracture の発生数をカウントできる。また、トランジエントレコーダは、信号が設定されたトリガーレベルに達する以前の波形も観測することできる温湿度記憶装置である。Fig. 3 は、熱応力を加えて花崗岩中に発生させた Micro-fracture からの距離が 20cm の点で AE 波形をトランジエントレコーダを用いて観測したものである。Fig. 2 に示したデータレコーダによる波形とは異なり、SN 比も改善されており、P 波、S 波がはっきりと識別できる。しかも 300 μsec ~ 1msec 位で完全に減衰することがわかる。Fig. 4 は掃引を長くして AE の発生頻度を調べたものであるが、急激な加熱にもかかわらず、AE は全く独立して発生していることがわかる。そこで、上記の実験結果にまとめて、Micro-fracture の数をカウントする場合の Frequency-discriminator の不感時間を 300μsec または 1msec に設定することとした。このようにして、トリガーレベルを越える AE 波を全割パルスに変換してカウントするだけではなく、1つの Micro-fracture にもとづく AE を 1つのパルスに変換してカウントすることにした。高周波振動現象については従来はデータレコーダに記録しておき、低速で再生、ダビングして最終的に電磁ノットログラフで観測する方法を用いるのが通常であったため、SN 比が悪く、観測周波数が 200 KHz が上限で、P 波の到着時や、押しこみ等、多くの情報をノイズレベル以下にまぎれてしまはがちであった。一方シンクロスコープによる観測もトリガをとることが難しく、データレコーダでの観測と同様に AE に関する多くの情報をとらえることができなかつた。Fig. 3 の波形からも推察するように、何点かにセンサーを置いて同時観測すれば、Micro-fracture

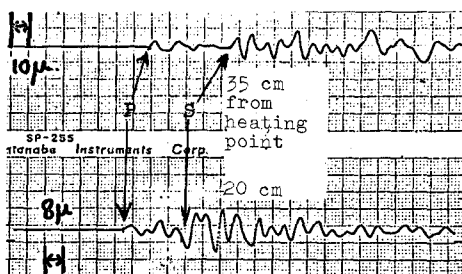


Fig. 3 Wave form of AE in Kitagi-Granite by thermal stress

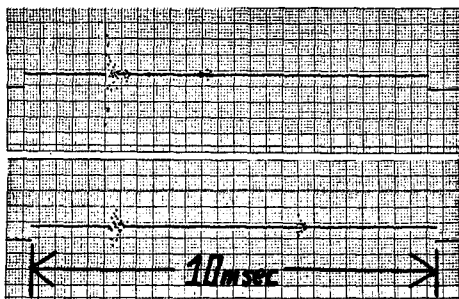


Fig. 4 AE by thermal stress; long sweep

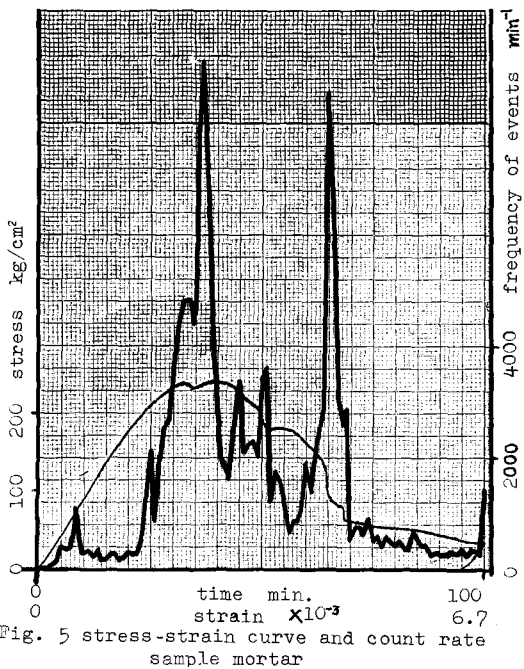


Fig. 5 stress-strain curve and count rate sample mortar

の発生位置を決定することも可能と考えられる。

4. 実験結果

Fig. 5 はモルタルの応力-ひずみ曲線と AE の頻度を示したもので、約 16 万個の Micro-fracture が観測された。強度の約半分位から AE のカウント数が増え始め最大応力を越えた post-failure 領域で頻繁して、ることがわかる。なお剛性試験機が時より 8 分経過したので発生数が増えているが、これは既存クラックの初期による影響とも考えられる。AE の頻度は応力-ひずみ曲線の凹凸と正確に対応していること、および応力緩和が認められる附近では AE が多くカウントされていることは極めて興味深い現象である。また、post-failure 領域で AE の発生が減ったのはクラッキングが起らなくなることは、モルタルの一軸圧縮試験時の載荷方向に直角な方向における弹性波伝播速度についての著者の実験結果によつてもよく裏づけられている。Fig. 6⁴⁾

ところがクラッキングにおいて、新しい一面を作るために、表面エネルギーが供給されなければならない。AE の運動エネルギーも著しいところと次のようにある。

$$\Delta \text{AE} \text{エネルギー} = \Delta \text{表面エネルギー} + \Delta \text{運動エネルギー}$$

剛性試験機は大きな変形が生じるやいばや、油圧セルが閉じて外部エネルギーと供給しきつまるので、クラッキングに必要な表面エネルギーは試料中にたくわえられたエネルギーから供給されなければならず、それへの伝播は応力緩和を引き起こす。応力緩和時には必然で巨視的クラックが見られるとの報告がある⁵⁾、特に応力-ひずみ曲線上の応力緩和と考えられる点で AE のカウント頻度が増えることは上述のエネルギー関係を実証してゐるものと考えられる。Fig. 7 はコンクリートの応力-ひずみ曲線と AE の頻度を示したもので、a の場合は不感時間ともうけてあるので Micro-fracture の発生頻度が示されてゐる。b の場合はトリガーレベル以上の AE 波を全てカウントしたもので、図示される頻度は多くの時間ごとに解放されたエネルギーに対応するものと考えられる。この場合も同様に dilatancy の領域に入ると AE のカウント数が増えはじめ、最大応力点以後にカウント頻度が急増してゐる。Fig. 8 は各々のステージでの AE の発生である。最大応力点以前ではセンサーに到着するエネルギーはひずみが増すにつれて大きくなつてゐる傾向が認められる。つまり応力が破壊強度に近づくにしたがつて Micro-fracture の頻度や規模が大きくなると考えられ、強度を越えると載荷方向にクラックが入るために、個々の現象は大きくても AE 波がセンサーに到着するまでに途中のクラックをよこするのではなくしも

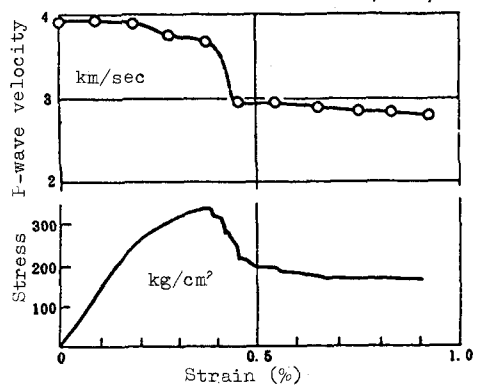


Fig. 6 Relation between diametral-I-wave-velocity and stress-strain curve after Saito⁴⁾

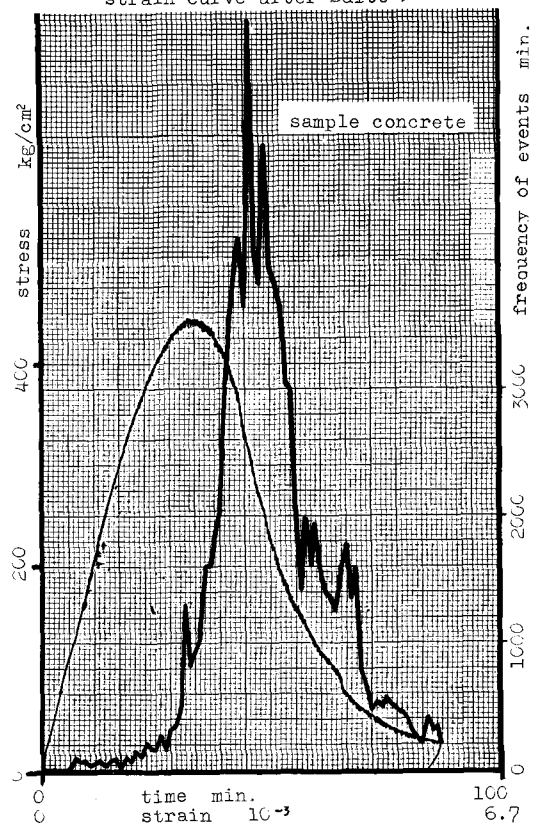


Fig. 7a stress-strain curve and count rate

測定される波形は大きくは分けて二つ。また破壊が進歩にしたがって高周波数波が遅れてくるので波形は複雑となるようである。また、各々の波形の立ちあがりは明確に識別できる。このことは各々の現象がusecのオーダーでは独立して起つてるものと考えられる。

5. 結論

今回の実験結果を要約するとつぎのようである。

- 1) コンクリートやセメント試料内で発生するAEの発生頻度が最も多くなる点で主破壊が起る。すなわち、応力が破壊強度に達した時点で主AEが起り、その後にふくれて出現する。
- 2) 応力-ひずみ曲線上に見られる応力緩和現象はクラッキングと密接に関係し、AEの発生頻度は急激に増加する。
- 3) コンクリートやセメントは、ひずみ速度が十分小さい場合には、荷重が強度を越えてもクラックが急激に不安定によって破壊してしまうのではなく、応力集中→クラックの進展→進展の停止→新しい応力集中といわばイク

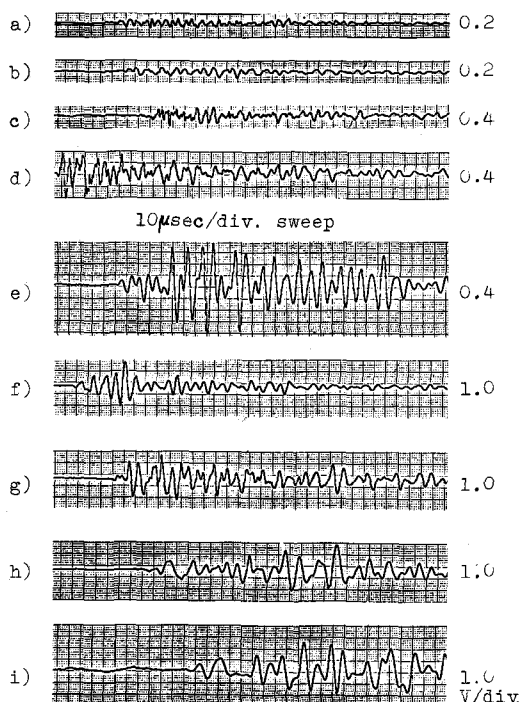


Fig. 8 wave forms of AE a), b), ..., in stage of Fig. 7b

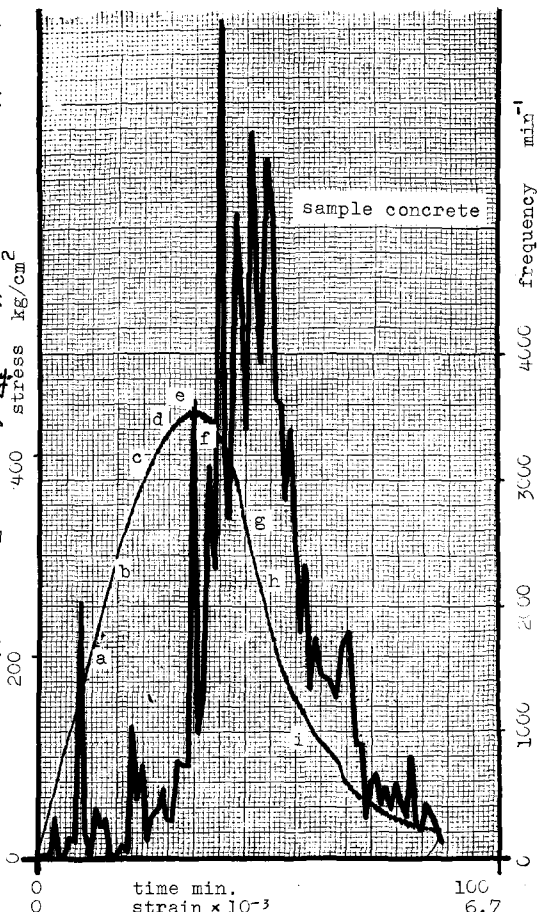


Fig. 7b stress-strain curve and count rate (dead-time: 0)

ルとくりかえしに伴う巨視的破壊 (Load Carrying Capacity の喪失) をおぼす。

AEの観測は、鉱山坑内やトシネルの周辺岩盤内における破壊の進行状況のモニター、および山崩れの発生機構などの解明にも役立つであろう。

Reference

- 1) Dunegan: Chap.4, The Experimental Stress Analysis, S.E.A., 1973
- 2) Knill: Int.J.Rock Mech.Min.Sci.Vol.5
- 3) Scholz : J.G.R., Vol.71, No.6
Vol.73, No.4 and No.10
Bulletin Seism. Soc. Am., Vol.58
No.1
- 4) Saito : Doctor of Engin. Thesis,
Kyoto Univ., 1973
- 5) Peng et al: Int.J.Rock Mech.Min.Sci.
Vol.9, 1972
Vol.10, 1973

The Observation of the Acoustic Emission in Rock-like Materials

Takashi Yanagidani, Osamu Sano and
Makoto Terada

Dept. of Mineral Science and Technology,
Faculty of Engineering,
Kyoto University

In this study, the acoustic emission in rock-like materials subjected to the stiff-uniaxial compression has been investigated.

A strain rate constant closed-loop servo-controlled stiff loading machine was used so as to study fully the process of fracturing in the post-failure region.

The acoustic emission was monitored using a system which was composed of a PZT-5 barium titanate transducer, a 10KHz~2MHz pre-amplifier, a filter-discriminator and a counter. Wave forms were also monitored simultaneously using transient recorder and a CRT.

The main results obtained in this study can be summarized as follows.

- (1) When the count rate of acoustic emission became maximum, the first macroscopic fractures were observed. In other words, rocks can retain their load-carrying-capacities beyond their ultimate strengths, and macroscopic fractures mainly develop in the post-failure region. The explosive rapid failure is merely due to the release of excess energy from the loading machine.
- (2) When the stress relaxation takes place, the count rate of acoustic emission increases rapidly.
- (3) Wave forms which are appeared in the acoustic emission in the brittle material suggest that in μ sec monitoring, the micro-fracturing develops one by one independently except the case of final macroscopic fractures.

Monitoring the acoustic emission in the rock-like materials subjected to the stiff loading affords an important tool of assessing the in-situ fracturing occurred in the mines and tunnels and useful informations concerning the onset of rock-burst in the deep underground.